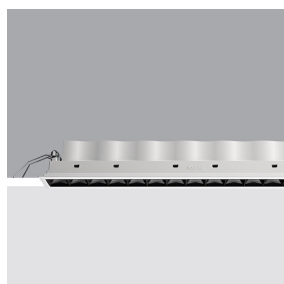


Última actualización de la información: Marzo 2025

### Configuraciones productos: RB49.47

RB49.47: Empotrable de 15 celdas - LED - Warm white - Flood - Blanco / Negro



### Código producto

RB49.47: Empotrable de 15 celdas - LED - Warm white - Flood - Blanco / Negro

### Descripción

equipo miniaturizado empotrable rectangular con 15 elementos ópticos y fuentes LED - ópticas fijas - apertura flood. Cuerpo principal con superficie radiante de aluminio fundido a presión, versión con marco perimetral de tope. Ópticas de alta definición de termoplástico metalizado, integradas en posición retrasada en la pantalla antideslumbramiento negra; la composición de la estructura del sistema óptico evita el efecto puntiforme, permite obtener una distribución lumínica definida y circular y genera una emisión con destello controlado. Incluye grupo de alimentación electrónico dimerizable DALI conectado a la luminaria. LED blanco warm.

### Instalación

empotrable con muelles de acero para falso techo de 1 a 25 mm - ranura de preparación 37 x 406

### Colores

Blanco/Negro (47)

### Peso (Kg)

0.86

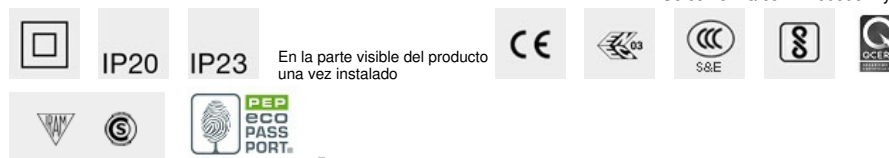
### Montaje

empotrable en la pared|empotrable en el techo

### Equipo

en caja de alimentación con conexiones rápidas

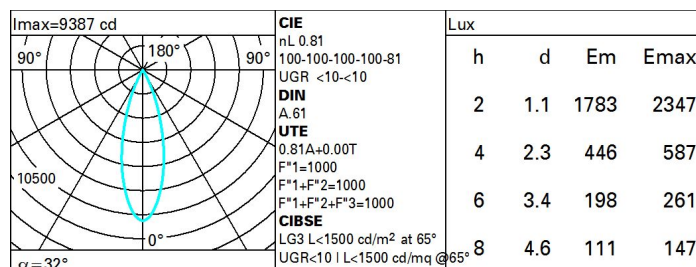
Se conforma con EN60598-1 y regulaciones pertinentes



### Datos técnicos

|   |      |                                      |                                 |
|---|------|--------------------------------------|---------------------------------|
| Im de sistema:  | 2795 | CRI (típico):                        | 92                              |
| W de sistema:   | 33.5 | Temperatura de color [K]:            | 3500                            |
| Im de la fuente:  | 3450 | MacAdam Step:                        | 3                               |
| W de la fuente:   | 30   | Life time (vida útil) LED 1:         | > 50,000h - L90 - B10 (Ta 25°C) |
| Eficiencia luminosa (lm/W, valor del sistema):              | 83.4 | Código de lámpara:                   | LED                             |
| Im en modo emergencia:                                      | -    | Número de lámparas por grupo óptico: | 1                               |
| Flujo total de emisión en un ángulo de 90° o superior [Lm]: | 0    | Código ZVEI:                         | LED                             |
| Light Output Ratio (L.O.R.) [%]:                            | 81   | Número de grupos ópticos:            | 1                               |
| Ángulo de apertura del haz de luz [°]:                      | 32°  | Control:                             | DALI-2                          |
| CRI (mínimo):   | 90   |                                      |                                 |

### Polar



Coefficientes de uso

| R    | 77 | 75 | 73 | 71 | 55 | 53 | 33 | 00 | DRR |
|------|----|----|----|----|----|----|----|----|-----|
| K0.8 | 73 | 70 | 67 | 65 | 69 | 66 | 66 | 64 | 78  |
| 1.0  | 76 | 73 | 71 | 69 | 72 | 70 | 70 | 67 | 83  |
| 1.5  | 80 | 78 | 76 | 74 | 77 | 75 | 74 | 72 | 89  |
| 2.0  | 83 | 81 | 79 | 78 | 80 | 78 | 78 | 75 | 93  |
| 2.5  | 84 | 83 | 82 | 81 | 82 | 81 | 80 | 78 | 96  |
| 3.0  | 85 | 84 | 83 | 83 | 83 | 82 | 81 | 79 | 98  |
| 4.0  | 86 | 85 | 85 | 84 | 84 | 84 | 82 | 81 | 99  |
| 5.0  | 87 | 86 | 86 | 86 | 85 | 84 | 83 | 81 | 100 |

Diagrama UGR

| Corrected UGR values (at 3450 lm bare lamp luminous flux) |      |                  |      |      |      |      |                |      |      |      |      |
|---|------|------------------|------|------|------|------|----------------|------|------|------|------|
| Reflect.:   |      |                  |      |      |      |      |                |      |      |      |      |
| ceiling/cav   |      | 0.70             | 0.70 | 0.50 | 0.50 | 0.30 | 0.70           | 0.70 | 0.50 | 0.50 | 0.30 |
| walls   |      | 0.50             | 0.30 | 0.50 | 0.30 | 0.30 | 0.50           | 0.30 | 0.50 | 0.30 | 0.30 |
| work pl.  |      | 0.20             | 0.20 | 0.20 | 0.20 | 0.20 | 0.20           | 0.20 | 0.20 | 0.20 | 0.20 |
| Room dim  |      | viewed crosswise |      |      |      |      | viewed endwise |      |      |      |      |
| x   | y    |                  |      |      |      |      |                |      |      |      |      |
| 2H  | 2H   | -7.7             | -7.2 | -7.4 | -7.0 | -6.7 | -7.7           | -7.2 | -7.4 | -7.0 | -6.7 |
|   | 3H   | -7.8             | -7.4 | -7.5 | -7.1 | -6.8 | -7.8           | -7.4 | -7.5 | -7.1 | -6.8 |
|   | 4H   | -7.9             | -7.5 | -7.6 | -7.2 | -6.9 | -7.9           | -7.5 | -7.6 | -7.2 | -6.9 |
|   | 6H   | -8.0             | -7.6 | -7.6 | -7.3 | -6.9 | -8.0           | -7.6 | -7.6 | -7.3 | -6.9 |
|   | 8H   | -8.0             | -7.6 | -7.6 | -7.3 | -7.0 | -8.0           | -7.6 | -7.7 | -7.3 | -7.0 |
|   | 12H  | -8.0             | -7.7 | -7.7 | -7.3 | -7.0 | -8.1           | -7.7 | -7.7 | -7.3 | -7.0 |
| 4H  | 2H   | -7.9             | -7.5 | -7.6 | -7.2 | -6.9 | -7.9           | -7.5 | -7.6 | -7.2 | -6.9 |
|   | 3H   | -8.0             | -7.7 | -7.7 | -7.3 | -7.0 | -8.0           | -7.7 | -7.7 | -7.3 | -7.0 |
|   | 4H   | -8.1             | -7.8 | -7.7 | -7.4 | -7.1 | -8.1           | -7.8 | -7.7 | -7.4 | -7.1 |
|   | 6H   | -8.2             | -7.9 | -7.8 | -7.5 | -7.1 | -8.2           | -7.9 | -7.8 | -7.5 | -7.1 |
|   | 8H   | -8.3             | -8.0 | -7.8 | -7.6 | -7.1 | -8.3           | -8.0 | -7.8 | -7.6 | -7.2 |
|   | 12H  | -8.3             | -8.0 | -7.8 | -7.6 | -7.2 | -8.3           | -8.1 | -7.9 | -7.6 | -7.2 |
| 8H  | 4H   | -8.3             | -8.0 | -7.8 | -7.6 | -7.2 | -8.3           | -8.0 | -7.8 | -7.6 | -7.1 |
|   | 6H   | -8.3             | -8.1 | -7.9 | -7.7 | -7.2 | -8.3           | -8.1 | -7.9 | -7.7 | -7.2 |
|   | 8H   | -8.4             | -8.2 | -7.9 | -7.7 | -7.2 | -8.4           | -8.2 | -7.9 | -7.7 | -7.2 |
|   | 12H  | -8.4             | -8.2 | -7.9 | -7.8 | -7.2 | -8.4           | -8.3 | -7.9 | -7.8 | -7.3 |
| 12H   | 4H   | -8.3             | -8.1 | -7.9 | -7.6 | -7.2 | -8.3           | -8.0 | -7.8 | -7.6 | -7.2 |
|   | 6H   | -8.4             | -8.2 | -7.9 | -7.7 | -7.2 | -8.4           | -8.2 | -7.9 | -7.7 | -7.2 |
|   | 8H   | -8.4             | -8.3 | -7.9 | -7.8 | -7.3 | -8.4           | -8.2 | -7.9 | -7.8 | -7.2 |
| Variations with the observer position at spacing:         |      |                  |      |      |      |      |                |      |      |      |      |
| S =   | 1.0H | 6.7 / -11.6      |      |      |      |      | 6.7 / -11.6    |      |      |      |      |
|   | 1.5H | 9.6 / -12.2      |      |      |      |      | 9.6 / -12.2    |      |      |      |      |
|   | 2.0H | 11.5 / -12.6     |      |      |      |      | 11.5 / -12.6   |      |      |      |      |